

УДК 531.383

К ИССЛЕДОВАНИЮ ДИНАМИКИ ГИРОКОМПАСА НА ТОРСИОННОМ ПОДВЕСЕ

БАШИРОВ Р. Х.

Задача определения собственных частот гироскопа с упругими опорами ротора неизбежно возникает при учете высокочастотных внутренних возмущений, порождаемых несовершенством форм поверхностей качения подшипников. В [1] исследован спектр собственных частот гироскопа с абсолютно жесткими опорами. В публикуемой работе используется та же, что и в [1], модель, описывающая взаимодействие чувствительного элемента с вращающейся Землей. Отличие состоит в том, что в рассматриваемой модели ротор имеет свободу угловых и линейных перемещений в кожухе. Для силовой функции упругого подшипника [2], принятой в усеченной форме, как в [3, 4], получены линеаризованные уравнения движения. Определение собственных частот при некоторых ограничениях сводится к исследованию корней уравнений не выше четвертой степени. Получены приближенные формулы для всех собственных частот.

1. Уравнения движения. Введем несколько трехгранников, движение которых будет определять движение гироскопа (фиг. 1). Пусть $O\xi_1\xi_2\xi_3$ — географическая система координат с началом в точке O крепления торсиона к следящей раме (фиг. 1, 2). Ось $O\xi_1$ трехгранника направлена на восток, $O\xi_2$ — на север по касательной к меридиану, $O\xi_3$ — по нормали к поверхности Земли.

Пусть точка O_1 совпадает с центром масс чувствительного элемента без ротора, а O_2 — с положением центра масс ротора, когда его опоры недеформированы. Свяжем с кожухом поступательно двигающуюся систему координат $O_1\xi_1^\circ\xi_2^\circ\xi_3^\circ$, оси которой параллельны осям $O\xi_1, O\xi_2, O\xi_3$. Обозначим через $O_1x_1x_2x_3$ главные центральные оси инерции кожуха со штангой. В неподвижной относительно кожуха системе отсчета $O_2x_1x_2x_3$, связанной с главными осями инерции кожуха со штангой, будем рассматривать поступательно двигающийся относительно кожуха трехгранник $Pu_1^\circ u_2^\circ u_3^\circ$, оси которого параллельны осям O_2x_1, O_2x_2, O_2x_3 соответственно. Положение центра масс ротора P в кожухе зададим тремя координатами: x_1, x_2, x_3 . Далее обозначим трехгранник главных центральных осей инерции ротора через $Pu_1u_2u_3$.

Положение системы определяется вектором обобщенных координат

$$\sigma = \{x_1, x_2, x_3, \gamma_1, \gamma_2, \gamma_3, \alpha, \beta, \gamma, \lambda, \mu\}^T \quad (1.1)$$

где λ, μ задают направление торсиона в $O\xi_1\xi_2\xi_3$ (фиг. 1), λ — угол поворота вокруг оси $O\xi_1$, μ — угол между торсионом и плоскостью $\xi_2\xi_3$. Величины α, β, γ совместно с λ, μ полностью определяет положение кожуха в географической системе координат $O\xi_1\xi_2\xi_3$. Буквой α обозначен угол поворота вокруг оси $O_1\xi_3^\circ$, β — угол между горизонтальной плоскостью $\xi_1^\circ\xi_2^\circ$ и осью x_2° , γ — поворот вокруг оси x_2° (фиг. 3). Величины $\gamma_1, \gamma_2, \gamma_3$ характеризуют положение ротора в кожухе, последовательность поворотов та же, что и для углов α, β, γ (фиг. 4).

Матрица перехода S от системы координат $O_1\xi_1^\circ\xi_2^\circ\xi_3^\circ$ к $O_1x_1^\circ x_2^\circ x_3^\circ$ имеет следующие элементы:

$$S_{11} = \cos \alpha \cos \gamma - \sin \alpha \sin \beta \sin \gamma, \quad S_{12} = -\sin \alpha \cos \beta$$

$$S_{13} = \cos \alpha \sin \gamma + \sin \alpha \sin \beta \cos \gamma, \quad S_{21} = \sin \alpha \cos \gamma + \sin \beta \cos \alpha \sin \gamma \quad (1.2)$$

$$S_{22} = \cos \alpha \cos \beta, \quad S_{23} = \sin \alpha \sin \gamma - \sin \beta \cos \alpha \cos \gamma$$

$$S_{31} = -\sin \gamma \cos \beta, \quad S_{32} = \sin \beta, \quad S_{33} = \cos \beta \cos \gamma$$

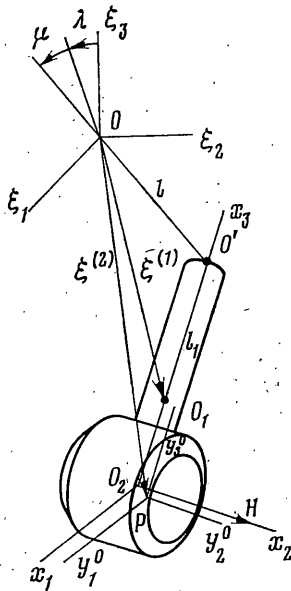
Абсолютная угловая скорость \mathbf{u} трехгранника $\xi_1 \xi_2 \xi_3$ в собственных осях

$$\mathbf{u} = \{u_1, u_2, u_3\}^T = \{0, u \cos \varphi, u \sin \varphi\}^T \quad (1.3)$$

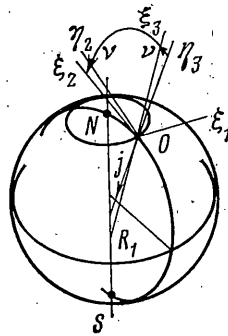
Абсолютная линейная скорость \mathbf{V}° начала системы координат

$$\mathbf{V}^\circ = \{V_1^\circ, V_2^\circ, V_3^\circ\}^T = \{uR_1 \cos \varphi, 0, 0\}^T \quad (1.4)$$

где u — угловая скорость суточного вращения Земли, φ — географическая



Фиг. 1



Фиг. 2

широта места расположения прибора на земной поверхности, R_1 — главный радиус кривизны поверхности в месте расположения прибора.

Обозначим через $\{p_1, p_2, p_3\}^T$ вектор абсолютной угловой скорости кожуха в проекциях на оси $O_1x_1^0, x_2^0, x_3^0$. Имеем

$$\begin{aligned} p_1 &= \beta^* \cos \gamma + (\alpha^* + u_3) S_{31} + u_2 S_{21} \\ p_2 &= \gamma^* + (\alpha^* + u_3) S_{32} + u_2 S_{22} \\ p_3 &= \beta^* \sin \gamma + (\alpha^* + u_3) S_{33} + u_2 S_{23} \end{aligned} \quad (1.5)$$

Проекции абсолютной угловой скорости ротора на оси, совпадающие с его главными центральными осями инерции, но не участвующие в собственном вращении (γ_3), имеют вид

$$\begin{aligned} r_1 &= p_1 \cos \gamma_1 + p_2 \sin \gamma_1 + \gamma_2^* \\ r_2 &= -p_1 \sin \gamma_1 \cos \gamma_2 + p_2 \cos \gamma_2 \cos \gamma_1 + (p_3 + \gamma_1^*) \sin \gamma_2 + \gamma_3^* \\ r_3 &= p_1 \sin \gamma_1 \sin \gamma_2 - p_2 \cos \gamma_1 \sin \gamma_2 + (p_3 + \gamma_1^*) \cos \gamma_2 \end{aligned} \quad (1.6)$$

Обратимся к вычислению скоростей движения центров масс кожуха и ротора. Пусть длина торсиона l , расстояние от точки O' — крепления тор-

сиона к чувствительному элементу — до центра масс кожуха O_1 есть l_1 , а до точки $O_2 - l_2$, тогда компоненты векторов $\xi^{(1)}$, $\xi^{(2)}$, проведенных из начала систем координат $O\xi_1\xi_2\xi_3$ к центрам масс кожуха и ротора соответственно, в системе $O\xi_1\xi_2\xi_3$ следующие:

$$\xi_i^{(1)} = \xi_i - l_1 S_{i3}, \quad \xi_i^{(2)} = \xi_i + S_{ih} x_h - l_2 S_{i3} \quad (i=1,2,3) \quad (1.7)$$

Здесь ξ_i — компоненты вектора $\xi = \{-l \sin \mu, l \sin \lambda \cos \mu, -l \cos \lambda \cos \mu\}^T$, определяющего положение конца торсиона.

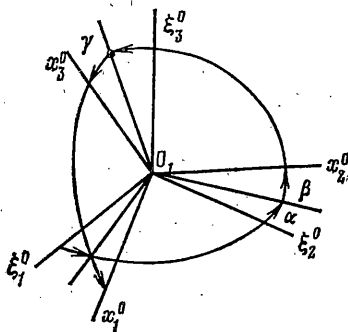
Обозначим абсолютные скорости центров масс ротора и кожуха через $V^{(2)}$, $V^{(1)}$ соответственно. Тогда

$$V^{(h)} = V^0 + u \times \xi^{(h)} + \xi^{*(h)} \quad (h=1, 2) \quad (1.8)$$

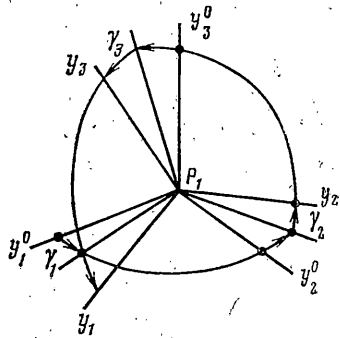
Выражение для кинетической энергии представляет сумму кинетических энергий кожуха и ротора

$$T = 1/2 (MV^{(1)2} + mV^{(2)2} + Ar_1^2 + Cr_2^2 + Ar_3^2 + I_1 p_1^2 + I_2 p_2^2 + I_3 p_3^2) \quad (1.9)$$

где A, C — экваториальный и полярный центральные моменты инерции ро-



Фиг. 3



Фиг. 4

тора, I_1, I_2, I_3 — моменты инерции кожуха (со штангой) вокруг осей Ox_1^0, Ox_2^0, Ox_3^0 соответственно, m, M — массы ротора и кожуха.

Потенциальная энергия сил земного тяготения и силовая функция гироскопа с неидеальными подшипниками определяют силы потенциальной природы, действующие на систему. Рассмотрим силы земного тяготения.

Потенциальная энергия в поле тяготения Земли $\Pi = mj\eta_3^{(2)} + Mj\eta_3^{(1)}$,

где $\eta_3^{(1)}, \eta_3^{(2)}$ — координаты центров масс кожуха и ротора в системе $\eta_1\eta_2\eta_3$, ось η_3 которой направлена по линии действия ускорения земного тяготения j , а η_1 совпадает с ξ_1 . Как известно [5], вектор j отклонен от нормали к поверхности сфероида на угол $\nu = 1/5 e^2 \sin 2\varphi$, где e — его эксцентриситет. Следовательно, $\eta_3^{(h)} = \xi_3^{(h)} \cos \nu - \xi_2^{(h)} \sin \nu$, где $h=1, 2$,

а $\xi_2^{(h)}, \xi_3^{(h)}$ определяются выражениями (1.7).

Как показано в [4], гироскоп на неидеальных подшипниковых опорах имеет силовую функцию

$$U(x_1, x_2, x_3, \gamma_1, \gamma_2, \gamma_3) = x_1 f_1(\gamma_3) + x_2 f_2(\gamma_3) + x_3 f_3(\gamma_3) + h \gamma_1 f_1(\gamma_3) - h \gamma_2 f_3(\gamma_3) - 1/2 (K_p x_1^2 + K_0 x_2^2 + K_p x_3^2 + K_\gamma \gamma_1^2 + K_\gamma \gamma_2^2) \quad (1.10)$$

где K_p, K_0, K_γ — соответственно радиальная, осевая и угловая жесткости опор ротора, h — величина, характеризующая линейный размер подшип-

ника, $f_s(\gamma_s)$, $h=1, 2, 3$ — почти-периодические функции угла γ_s с равным нулю средним значением, функции f_s характеризуют внутренние возмущения, порождаемые несовершенством форм поверхностей качения

$$f_s(\gamma_s) = \sum_{i=1}^{\infty} a_{is} \sin(k_{is}\gamma_s + \varphi_{is}) \quad (s=1,2,3) \quad (1.11)$$

$\{k_{is}\}$ — спектр функции, a_{is} — коэффициенты Фурье.

В [4] получена связь коэффициентов a_{is} спектра с погрешностями поверхностей беговых дорожек подшипников. Коэффициенты упругости подшипников связаны между собой:

$$K_p/K_p' = K_y/K_y' h^2 = K_0/K_0' = K \quad (1.12)$$

где безразмерные коэффициенты K_p' , K_0' , K_y' выражаются через геометрические характеристики подшипников.

На основании изложенного можно выписать уравнения движения в форме уравнений Лагранжа второго рода

$$\frac{d}{dt} \frac{\partial T}{\partial \dot{\sigma}_i} - \frac{\partial T}{\partial \sigma_i} = \frac{\partial (U - \Pi)}{\partial \sigma_i} \quad (i=1,2,\dots,11) \quad (1.13)$$

которые здесь не приводятся ввиду их громоздкости.

2. Уравнения вибрации. Предположим, что отклонения поверхностей качения от геометрически правильных малы, тогда будут малыми и амплитуды возмущений в системе, обусловленных этими погрешностями. Введем малый параметр по формуле

$$\varepsilon = \frac{1}{hK_0} \max_{s,\gamma_s} \left\{ |f_s(\gamma_s)| + \left| \frac{\partial f_s}{\partial \gamma_s} \right| \right\} \quad (2.1)$$

Обозначим часть обобщенных координат через $q = \{x_1, x_3, \gamma_1, \mu, x_2, \gamma_1, \gamma_2, \alpha, \beta, \lambda\}^T$. Система уравнений (1.13) имеет при $\varepsilon=0$ устойчивое положение равновесия $q^\circ = \{0, x_3^\circ, 0, 0, x_2^\circ, 0, \gamma_2^\circ, 0, \beta^\circ, \lambda^\circ\}^T$. Ненулевые компоненты q_i° определяются из системы пяти трансцендентных тригонометрических уравнений. Если учесть, что наземные гирокомпасы имеют большие значения H и большие смещения центра масс $l_c = (ml_2 + Ml_1) m_c^{-1}$ чувствительного элемента относительно точки подвеса ($m_c l_c g = (m+M) l_c g \gg Hu$, $H/A = \Omega \gg g/l$, u), то получим приближенные выражения для стационарного решения

$$\beta^\circ = Hu_3 / (m_c l_c g + Hu_2), \quad \gamma_2^\circ = Hu_3 / K_y \quad (2.2)$$

$$x_2^\circ = -mg\beta^\circ / K_0, \quad x_3^\circ = -mg / K_p, \quad \lambda^\circ = (l+l_c) u_2 u_3 / g$$

Величины углов β° , γ_2° , λ° очень малы (10^{-4} рад и меньше). В частности, при $u_3=0$ имеем $\gamma_2^\circ = \beta^\circ$, $\lambda^\circ = 0$, что соответствует положению равновесия установленного на экваторе прибора. Для малых отклонений q' от q° в линейном приближении можно заменить $\sin(q_i^\circ + q_i')$ на $q_i^\circ + q_i'$ и на единицу $-\cos(q_i^\circ + q_i')$. Поэтому линейаризация уравнений, произведенная в окрестности $q=0$ с последующим переходом к малым отклонениям q' , приводит к тем же уравнениям, что и линейаризация относительно положения равновесия q° . При этом произведения $q_i^\circ q_i'$ считаются малыми второго порядка.

Линеаризуем уравнения (1.13) относительно переменных q_i . Результат линеаризации уравнения по переменной γ_3 приводит к циклическому интегралу

$$C[\gamma_3^\circ + \gamma' + u_2 + u_3(\beta + \gamma_2)] = H \quad (2.3)$$

так как $\partial(U - \Pi) / \partial \gamma_3 = 0$ с точностью до малых второго порядка. Подстановка (2.3) в остальные уравнения дает уравнения вынужденных колеба-

ний гироскопа

$$J_{ij}q_j' = \{f_1(\omega_c t)/m, f_3(\omega_c t)/m\} \quad (2.4)$$

$$0, 0, f_2(\omega_c t)/m, hf_1(\omega_c t)/A, -hf_3(\omega_c t)/A, 0, 0, 0\}^T$$

где $\omega_c = H/C$, а операторная матрица (10×10) системы имеет вид

$$J = \left\| \begin{array}{c|c} J' & 0 \\ \hline 0 & J'' \end{array} \right\|$$

$$J' = \left\| \begin{array}{cccc} p^2 + \omega_p^2 & 2u_2 p & -J_{59} & -lp^2 \\ -2u_2 p & p^2 + \omega_p^2 & 2l_2 u_2 p & 2lu_2 p \\ -mJ_{59} & -mu_2 l_2 p & I_2' p^2 + G & J_{34} \\ -mlp^2 & -mu_2 l p & J_{34} & J_{44} \end{array} \right\|,$$

$$J'' = \left\| \begin{array}{cccccc} p^2 + \omega_0^2 & 0 & 0 & 0 & J_{59} & lp^2 \\ 0 & J_{66} & \Omega p & p^2 + \Omega u_2 & \Omega p & 0 \\ 0 & -\Omega p & J_{66} & -\Omega p & p^2 + \Omega u_2 & 0 \\ 0 & p^2 + \Omega u_2 & \Omega p & ap^2 + \Omega u_2 & \Omega p & 0 \\ mJ_{59}/A & -\Omega p & p^2 + \Omega u_2 & -\Omega p & J_{99} & J_{34} \\ mlp^2 & 0 & 0 & 0 & J_{34} & J_{44} \end{array} \right\|$$

$$J_{59} = l_2 p^2 + g, J_{34} = m_c l_c l p^2, J_{44} = m_c (l^2 p^2 + l g)$$

$$J_{66} = p^2 + \omega_y^2 + \Omega u_2, J_{99} = b_0 p^2 + \Omega u_2 + G/A$$

Здесь введены обозначения

$$a = (A + I_3)/A, b_0 = (ml_2^2 + Ml_1^2 + A + I_1)/A$$

$$I_2' = I_2 + ml_2^2 + Ml_1^2, G = m_c l_c g, \omega_y^2 = K_y/A$$

$$\omega_p^2 = K_p/m, \omega_0^2 = K_0/m, p = d/dt$$

— оператор дифференцирования по времени.

При выводе уравнений вибрации были использованы соотношения

$$j \cos \nu - u_2^2 R_1 = g, j \sin \nu - u_2 u_3 R_1 = 0$$

вытекающие из предположения, что ускорение свободного падения направлено по нормали к поверхности Земли. Учтено также, что величины $Au, I_1 u, I_2 u, I_3 u$ намного меньше кинетического момента ротора H . Поскольку произведения $q_i^{\circ} q_j'$ считаются малыми второго порядка, то следует опустить в линеаризованных уравнениях и слагаемые с множителем u_3 . Действительно, из (2.2) видно, что $\gamma_2^{\circ}, \beta^{\circ}, \lambda^{\circ}$ пропорциональны u_3 , значит, члены типа $Hu_3 q_i'$, $lu_2 u_3 q_i'$ можно представить, как $m_c l_c g \beta^{\circ} q_i'$, $g \lambda^{\circ} q_i'$ и, следовательно, ими можно пренебречь. О возможности пренебрежения такого рода в уравнениях гироскопа с абсолютно жесткими опорами ротора указывается в [1].

3. Собственные частоты. Рассмотрим характеристическое уравнение $\det J(p) = 0$, здесь p — собственное число. Левая часть уравнения — полином десятой степени по p^2 . Переход от собственных чисел p к частотам ω осуществляется заменой $p = i\omega$.

Введем малый параметр $\epsilon_1 = u\sqrt{L^*}/g$, где L^* — характерный размер системы, например l . Обозначим через $f(\omega^2, \epsilon_1)$ выражение для $\det J(i\omega)$. Тогда, раскрыв определитель, получим

$$f(\omega^2, 0) = \omega^2 (\omega^2 - \omega_p^2) \Delta_1(\omega^2) \Delta_2(\omega^2) = 0$$

$$\Delta_1(x) = x^3 I_2 M m_c^{-1} - x^2 \{ \omega_p^2 [I_2 + m_* (l_1 - l_2)^2] + (g/l) [m_* (l_1 - l_2) l + Ml_1^2 + Ml_1 l + I_2] \} + x(g/l) [\omega_p^2 (m_c l_c l + I_2') + g (Ml_1 - ml - \dots)] \quad (3.1)$$

$$-ml_2)] - (g/l)^2 [\omega_p^2 m_c l_c l - gml^2]$$

где $m_* = mM/(m+M)$ — приведенная масса

$$\Delta_2 = \begin{vmatrix} p^2 + \omega_0^2 & 0 & 0 & 0 & l_p p^2 + g & p^2 \\ 0 & p^2 + \omega_y^2 & \Omega p & p & \Omega p & 0 \\ 0 & -\Omega p & p^2 + \omega_y^2 & -\Omega & p^2 & 0 \\ 0 & p & \Omega & a & \Omega & 0 \\ m(l_2 p^2 + g)/A & -\Omega p & p^2 & -\Omega & b_0 p^2 + G/A & m_c l_c p^2/A \\ mp^2/m_c & 0 & 0 & 0 & l_c p^2 & p^2 + g/l \end{vmatrix}$$

Уравнение $\det J(i\omega) = 0$ отличается от (3.1) малым возмущением. Корни упрощенного уравнения являются начальными членами разложения собственных частот системы по ε_1 .

Степенной ряд для одного корня начинается с линейного по ε_1 , так как упрощенное уравнение имеет нулевой корень. Эту частоту получим раскрыв определитель в уравнении $|\Gamma i\omega + B| = 0$, где Γ, B — матрицы гироскопических и потенциальных сил соответственно. С точностью до малых второго порядка определим прецессионную частоту

$$\omega_1^2 = u_2^2 + \frac{K_v u_2 G}{(K_v + G)H} \left[1 + \frac{K_p m^2 g^2}{K_0 (K_p G - m^2 g^2)} \right] \quad (3.2)$$

с которой происходят колебания чувствительного элемента вокруг устойчивого равновесия. Формула (3.2) при $K \rightarrow \infty$ дает известное выражение для прецессионной частоты.

Рассмотрим уравнение $\Delta_1(x) = 0$. При решении уравнения малость отношения $g/l\omega_p^2$ учитывается введением малого параметра $\varepsilon_2 = g/l\omega_p^2$. Пусть $y = x/\omega_p^2$, тогда имеем

$$y^3 I_2 M/m_c - y^2 [I_2 + m_* (l_1 - l_2)^2 + \varepsilon_2 (m_* (l_1 - l_2) l + M l_1^2 + M l_1 l + I_2)] + y \varepsilon_2 [m_c l_c l + I_2' + \varepsilon_2 (M l_1 - m l - m l_2)] - \varepsilon_2^2 (m_c l_c l - \varepsilon_2 m l^2) = 0 \quad (3.3)$$

Будем искать решение в форме степенных рядов $y = y_0 + \sum_{k=1}^{\infty} \varepsilon_2^k y_k$. Ре-

зультат подстановки ряда в (3.3) и последующее определение коэффициентов дает формулы для приближенного вычисления трех частот

$$\omega_2^2 = K_p m_*^{-1} (1 + m_* I_2^{-1} (l_1 - l_2)^2) + (g/l) \{ [m_* (l_1 - l_2) l + M l_1^2 + M l_1 l + I_2] m_c I^{-1} M^{-1} - m_c l_c l [I_2 + m_* (l_1 - l_2)^2]^{-1} \} \quad (3.4)$$

$$\omega_3^2 = g \theta_1 / l - (g/l\omega_p)^2 Q(\theta_1) [(I_2' - m_c l_c l)^2 + 4m_c^2 l_c^3 l]^{-1/2} \quad (3.5)$$

$$\omega_4^2 = g \theta_2 / l + (g/l\omega_p)^2 Q(\theta_2) [(I_2' - m_c l_c l)^2 + 4m_c^2 l_c^3 l]^{-1/2} \quad (3.6)$$

где θ_1, θ_2 являются корнями уравнения ($\theta_2 > \theta_1$):

$$[I_2 + m_* (l_1 - l_2)^2] \theta^2 - (I_2' + m_c l_c l) \theta + m_c l_c l = 0$$

Функция $Q(\theta)$ в формулах (3.5) и (3.6) имеет вид

$$Q(\theta) = I_2 M \theta^3 / m_c - [I_2 + M l_1 l + M l_1^2 + m_* (l_1 - l_2) l] \theta^2 + (M l_1 l - m l^2 - m l_2 l) \theta + m l^2$$

Точные корни уравнения $\Delta_1(x) = 0$, так же как их приближенные величины (3.4), (3.5), (3.6), не зависят от кинетического момента H .

Пятую собственную частоту определим из (3.1):

$$\omega_5 = \omega_p \quad (3.7)$$

Собственные частоты ω_2 и ω_5 имеют отношение к радиальным упругим колебаниям системы. Маятниковые колебания чувствительного элемента

в поле тяготения Земли (плоскость $O\xi_1\xi_3$) происходят с частотами ω_3 и ω_4 . Выражения для частот $\omega_{3,4} = (g\theta_{1,2}/l)^{1/2}$ без приведенных выше поправок получены в [1].

Рассмотрим далее уравнение $\Delta_2(\omega^2) = 0$. Учтем малость отношения $g/l\omega_y^2$. Малый параметр $\varepsilon_3 = g/l\omega_y^2$ войдет явно в уравнение после замены ω на y по формуле $y = \omega^2/\omega_y^2$. Начальные члены разложения квадратов собственных частот удовлетворяют уравнению, которое получится из $\Delta_2 = 0$, если в нем положить $g = 0$:

$$\begin{aligned} & \omega^2 [K_0 L(\omega^2, b') - m_* \omega^2 L(\omega^2, b'')] = 0 \\ & L(z, b) = z^3 (b-1)(a-1) - z^2 [(2ab - a - b) \times \\ & \times \omega_y^2 + \Omega^2 (a-1)(b-1)] + z [\Omega^2 \omega_y^2 (a+b-2) + \omega_y^4 ab] - \omega_y^4 \Omega^2 \\ & b' = 1 + [I_1 + m_* (l_1 - l_2)^2] / A, \quad b'' = 1 + I_1 / A \end{aligned} \quad (3.8)$$

В выражении $L(\omega^2, b)$ величину b следует рассматривать как параметр. Полином $L(\omega^2, b)$ входит в левую часть (3.8) при различных значениях параметра b' и b'' . Разность $\delta b = b' - b'' = m_* (l_1 - l_2)^2 / A$ характеризует разбалансированность чувствительного элемента относительно оси вращения ротора, например из-за наличия штанги.

Один из корней (3.8) равен нулю. Следовательно, для него разложение начинается с линейного члена по ε_3 . Квадрат частоты с учетом первых двух членов разложения имеет вид

$$\omega_0^2 = \frac{g}{l} \left\{ 1 - \frac{g}{l} \left[\frac{m_c l_c^2}{A} \left(\frac{a}{\Omega^2} + \frac{1}{\omega_y^2} \right) + \frac{m}{m_c \omega_0^2} \right] \right\} \quad (3.9)$$

Этими членами разложения можно ограничиться, так как первая поправка к g/l дает ясную картину влияния упругости подшипников на величину частоты. Из этих же соображений для остальных четырех частот будут выписаны лишь начальные члены разложения, которые можно определить решив уравнение четвертой степени

$$K_0 L(z, b') - z m_* L(z, b'') = 0 \quad (3.10)$$

Решение последнего уравнения будем искать не делая определенных предположений о соотношении величин ω_0 , ω_y , Ω , входящих в коэффициенты полинома L . Рассмотрим два случая: $\delta b = 0$, $\delta b \neq 0$.

В первом уравнение (3.10) упрощается:

$$(m_* z - K_0) L(z, b'') = 0 \quad (3.11)$$

Частота упругих осевых колебаний при этом будет $\omega_{*7} = \sqrt{K_0/m_*}$.

Рассмотрим уравнение $L(z, b) = 0$, которым определяется часть собственных частот свободного гироскопа с упругими опорами ротора. Корни полинома $L(\omega^2, b)$ были получены в [3]. Приведем краткий вывод их формул.

Разрешим уравнение $L(z, b) = 0$ относительно Ω^2 :

$$\Omega^2 = \omega^2 \frac{(b-1)(a-1)\omega^4 - (2ab - a - b)\omega_y^2 \omega^2 + \omega_y^4 ab}{(b-1)(a-1)\omega^4 - (a-2+b)\omega_y^2 \omega^2 + \omega_y^4} \quad (3.12)$$

Корням полинома шестой степени $L(\omega^2, b)$ соответствуют три ветви функции (3.12). Пересечения ее ветвей с горизонтальной прямой Ω^2 и дадут искомые корни. Простейшей из мероморфных функций, имеющих один нуль и один полюс, является дробно-линейная функция

$$\Omega^2 = (\lambda_1 + \lambda_2 \omega^2) / (\delta_1 + \delta_2 \omega^2) \quad (3.13)$$

Будем аппроксимировать этой функцией рассматриваемую ветвь функции (3.12). Коэффициенты λ_1 , λ_2 , δ_1 , δ_2 находятся из условий совпадения

соответствующих нулей и полюсов, а также первых производных в нулях. Осуществляя затем обращение выражения (3.13), получим первый и второй корень полинома $L(\omega^2, b)$. Третью ветвь найдем разделив полином шестой степени $L(\omega^2, b)$ на $(\omega^2 - \omega_{*8}^2)(\omega^2 - \omega_{*9}^2)$. В результате получим формулы для приближенного определения корней полинома при условии $b > a$:

$$\begin{aligned} \omega_{*8}^2(b) &= \frac{\omega_y^2 \Omega^2}{ab\omega_y^2 + \Omega^2(b-1)}, \\ \omega_{*9}^2(b) &= \frac{[\Omega^2(b-1)^3 + b^2(b-a)\omega_y^2] \omega_y^2}{[\Omega^2(b-1)^2(a-1) + b(b-a)\omega_y^2](b-1)} \quad (3.14) \\ \omega_{*10}^2(b) &= \left(\frac{a}{a-1} + \frac{b}{b-1} \right) \omega_y^2 - (\omega_{*8}^2 + \omega_{*9}^2) + \Omega^2 \end{aligned}$$

Отметим, что в случае $a < b$ формулы для 8, 9, 10-й частот получаются из выражений (3.14) заменой b на a , а a — на b вследствие симметрии коэффициентов полинома относительно a и b . Для гирокомпаса с торсионным подвесом чувствительного элемента обычно $I_1 > I_3$, следовательно $b' \geq \geq b'' = (I_1 + A) / A > (I_3 + A) / A = a$.

Поэтому далее для определенности будем предполагать $b > a$. Итак, в случае $\delta b = 0$ набор величин $\omega_1, \omega_2, \dots, \omega_{*7}, \omega_{*8}(b''), \omega_{*9}(b''), \omega_{*10}(b'')$ определяет собственные частоты гирокомпаса.

Рассмотрим теперь уравнение (3.8) при b' , отличных от b'' , и разрешим его относительно $K_0 / m_* = zL(z, b') / L(z, b'')$.

Произведем замену $z = y\omega_y^2$. Пусть $y_1(b), y_2(b), y_3(b)$ — точные корни полинома $L(y\omega_y^2, b)$. Тогда предыдущее равенство представим в виде

$$\frac{(b'-1)K_0}{(b''-1)\omega_y^2 m_*} = y \frac{[y-y_1(b'')][y-y_2(b'')][y-y_3(b'')]}{[y-y_1(b')][y-y_2(b')][y-y_3(b')]} \quad (3.15)$$

Графическое представление функции $\Phi(y)$ в правой части (3.15) дано на фиг. 5 сплошными линиями, а пунктирными линиями изображены асимптоты и касательные к функции в ее нулях. Искомые частоты найдутся как точки пересечения графика $\Phi(y)$ с горизонтальной прямой $\Phi = \kappa = (b'-1)(b''-1)^{-1} K_0 \omega_y^{-2} m_*^{-1}$.

Далее проводится исследование корней $y_i(b)$ как функции параметра b , что позволит конкретизировать характер поведения $\Phi(y)$.

Покажем, что $y_i(b)$ ($i=1, 2, 3$) являются монотонно убывающими функциями параметра b . Рассмотрим уравнение $L(\omega^2, b) = 0$ в форме (3.12). Произведем замену $y = \omega^2 / \omega_y^2$ и введем обозначения $(b-1)^{-1} = c > 0$, $(a-1)^{-1} = d > 0$. Уравнение (3.12) преобразуется к виду

$$k^2 = \frac{\Omega^2}{\omega_y^2} = y \frac{(y-c-1)(y-d-1)}{(y-c)(y-d)} \equiv F(y) \quad (3.16)$$

Из графического представления этого соотношения на фиг. 6 (пунктирными линиями показаны асимптоты и касательные в нулях $F(y)$) видно, что в случае $d > c+1$ корни лежат в пределах

$$0 \leq y_1 < c, \quad c+1 \leq y_2 < d, \quad y_3 \geq d+1 \quad (3.17)$$

Нетрудно получить и области значений корней в случае $d < c+1$:

$$0 \leq y_1 < c, \quad d < y_2 \leq c+1, \quad y_3 \geq d+1 \quad (3.18)$$

Из этих соотношений также следует, что $0 \leq y_1 < y_2 < y_3$, так как $d > c$ вследствие предположения относительно a и b .

Вычислим из неявной зависимости $y(b)$ в (3.16) производную

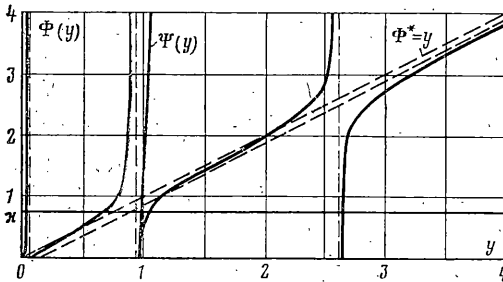
$$\frac{dy}{db} = \frac{-c^2 y (y-d-1)(y-d)}{[(y-c)^2 + c](y-d)(y-d-1) - y(y-c)(1+c-y)} \quad (3.19)$$

Нетрудно убедиться, что в обоих случаях (3.17), (3.18) производная dy/db всюду отрицательна. Это и доказывает предположение о монотонной зависимости корней y_i от параметра b . Отметим, что монотонность очевидна из физических соображений: чем больше массы элементов, тем меньше частота колебаний.

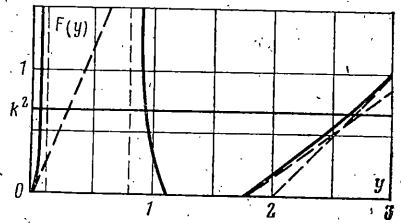
Рассмотрим выражение для dy/db в случае (3.18), когда $d < y \leq c+1$, преобразовав предварительно знаменатель (3.19). Учитывая, что $d > c$, можно получить оценку производной

$$\begin{aligned} \frac{dy}{db} &= \frac{-c^2(y-d)(1+d-y)}{[(y-d)^2+d](y-c)(1+c-y)+y(y-d)(1+d-y)} \geq \\ &\geq -c^2 \frac{y(d+1-y)(y-d)}{y(d+1-y)(y-d)} = -c^2 \end{aligned}$$

Аналогично можно получить оценки и для других областей (3.17),



Фиг. 5



Фиг. 6

(3.18), преобразовав знаменатель к виду $(y-d-1)(y-d)(y-c-1)(y-c) + y(y-c-1)(y-c) + y(y-d)(y-d-1)$.

При этом получим одинаковые оценки для всех корней

$$-\frac{1}{(b-1)^2} \leq \frac{dy_i}{db} \leq 0 \quad (i=1,2,3) \quad (0 \leq k < \infty) \quad (3.20)$$

Рассмотрим интеграл от неотрицательной функции

$$\int_{b''}^{b'} \left(\frac{dy_i}{db} + \frac{1}{(b-1)^2} \right) db = y_i(b') - y_i(b'') + \frac{1}{(b''-1)} - \frac{1}{(b'-1)} \geq 0. \quad (3.21)$$

Из монотонной зависимости $y(b)$ и неравенства (3.21) следует

$$0 \leq y_i(b'') - y_i(b') \leq \delta b (b'-1)^{-1} (b''-1)^{-1} \quad (3.22)$$

Введем обозначения $\Delta y_i = y_i(b'') - y_i(b') \geq 0$, $y_i' = y_i(b')$. Преобразуем в этих обозначениях функцию $\Phi(y)$:

$$\Phi(y) = y \left(1 - \frac{\Delta y_1}{y - y_1'} \right) \left(1 - \frac{\Delta y_2}{y - y_2'} \right) \left(1 - \frac{\Delta y_3}{y - y_3'} \right) \quad (3.23)$$

При произвольных b'' , a , k расположение нулей и полюсов функции будет вполне определено, если δb невелико. Достаточно тонкие оценки корней можно получить с помощью мажорирующих функций. Однако в этом случае придется решать кубические уравнения, что приведет к сложным выражениям. Это тем более не целесообразно, что само уравнение (3.8) неточно моделирует гирокомпас. Сравнительно простые формулы можно получить аппроксимируя ветви мероморфной функции $\Phi(y)$ дроб-

но-линейными. Однако такое приближение становится слишком грубым в практически важном случае, когда

$$\frac{\delta b}{(b''-1)(b'-1)} \ll \min \left\{ 1, \frac{1}{a-1} \right\} \quad (3.24)$$

Например, для третьей ветви $\Phi(y)$ на фиг. 5 сплошной линией изображена дробно-линейная функция $\psi(y)$, у которой такие же нуль, полюс и производная в нуле. Отклонение же ее от ветви $\Phi(y)$ в верхней части графика составляет величину порядка $y_3(b') - y_2(b'')$, что может быть и немалым.

Ниже приводятся приближенные формулы для гирокомпаса с параметрами, удовлетворяющими неравенству (3.24). Обычно для реальных систем оно выполнено. Из выражения для $\Phi(y)$ (3.23) видно, что чем меньше Δy_i , тем ближе точки графика к множеству точек, образованному из четырех прямых: $\Phi^* = y$, $y = y_1'$, $y = y_2'$, $y = y_3'$. Так как из (3.17), (3.18), (3.22), (3.24) следуют неравенства $\Delta y_i \ll y_2' < y_3'$, можно говорить о малости отклонения решений уравнения (3.15) от y_2' и y_3' . Два других корня удовлетворяют приближенно уравнению

$$\kappa = y[1 - \Delta y_i(y - y_i')^{-1}] \quad (3.25)$$

Решение этого уравнения с последующим переходом к $\omega^2 = \omega_y^2 y$ и заменой точного решения $y_1 \omega_y^2$ на приближенное значение ω_{*s}^2 приводит к формулам

$$\omega_{7,8}^2 = \frac{1}{2} \{ \omega_0'^2 + \omega_{*s}^2(b'') \pm \{ [\omega_0'^2 - \omega_{*s}^2(b'')]^2 + 4\omega_0'^2 [\omega_{*s}^2(b'') - \omega_{*s}^2(b')] \}^{1/2} \} \quad (3.26)$$

$$\omega_0'^2 = K_0(b'-1) / m_*(b''-1), \quad \omega_9 = \omega_{*9}(b'), \quad \omega_{10} = \omega_{*10}(b')$$

Те же самые формулы определяют собственные частоты, если отказаться от условия (3.24), но считать $\mu_1 = k^{-2} = \omega_y^2 / \Omega^2$ малым. Действительно производные, вычисленные по формуле (3.19)

$$\begin{aligned} \frac{dy_1}{db} &= -\frac{1}{(b-1)^2} + O(\mu_1), & \frac{dy_3}{db} &= -\frac{\mu_1}{(b-1)^2} + O(\mu_1^2) \\ dy_2/db &= -C_1\mu_1 + O(\mu_1^2), & C_1 &> 0 \end{aligned} \quad (3.27)$$

показывают, что для второго и третьего корня полинома производные являются величинами первого порядка малости. Отметим, что для реальных конструкций, если выполнено (3.24) и $\mu_1 \rightarrow 0$ (H достаточно велико, либо мягкие подшипники), формулы с высокой точностью определяют корни уравнения (3.8).

Представляет интерес выделить случай малых k , в котором функции y_1 и y_3 слабо зависят от b . И так же, как в случае малых μ_1 , можно предложить формулы для приближенного определения частот

$$\omega_7 = \omega_{*s}(b'), \quad \omega_8 = \omega_{*10}(b'), \quad \omega_{9,10}^2 = \frac{1}{2} \{ \omega_0'^2 + \omega_{*9}^2(b'') \pm \{ [\omega_0'^2 - \omega_{*9}^2(b'')]^2 + 4\omega_0'^2 [\omega_{*9}^2(b'') - \omega_{*9}^2(b')] \}^{1/2} \} \quad (3.28)$$

Интересно отметить, что при $K_0 \rightarrow \infty$ первая формула (3.26) дает $\omega_7^2 = \omega_0'^2 + \omega_{*s}^2(b'') - \omega_{*s}^2(b')$, $\omega_8 = \omega_{*s}(b')$.

Последняя формула описывает зависимость первой нутационной частоты от кинетического момента

$$\lim_{K_y \rightarrow \infty} \omega_{*s}(b') = \lim_{\omega_y \rightarrow \infty} \frac{\omega_y \Omega}{\sqrt{ab' \omega_y^2 + (b'-1)\Omega^2}} = \frac{\Omega}{\sqrt{ab'}}$$

Итак, все собственные частоты найдены.

Пример. $\omega_0=450 \text{ с}^{-1}$, $\omega_p=780 \text{ с}^{-1}$, $\omega_n=560 \text{ с}^{-1}$, $m=0,4 \text{ кг}$, $M=0,6 \text{ кг}$, $l=L_1=0,15 \text{ м}$,
 $I_2=0,25 \text{ м}^2$, $A=1,2 \cdot 10^{-4} \text{ кг} \cdot \text{м}^2$, $C=1,8 \cdot 10^{-4} \text{ кг} \cdot \text{м}^2$, $I_1=1,05 \cdot 10^{-2} \text{ кг} \cdot \text{м}^2$, $I_2=1,07 \cdot 10^{-2}$,
 $I_3=3 \cdot 10^{-4} \text{ кг} \cdot \text{м}^2$, $\varphi=60^\circ$, $\eta=7,29 \cdot 10^{-5} \text{ с}^{-1}$, $\Omega=3769,3 \text{ с}^{-1}$.

Подставляя значения параметров в формулы, получаем величины собственных частот $\omega_1, \omega_2, \dots, \omega_8 \text{ (с}^{-1}\text{)}$: 3,887 $\cdot 10^{-4}$; 1114,09; 5,068; 19,030; 780; 7,825.

Сравним точные величины корней уравнения с вычисленными по приближенным формулам. Корни, полученные на ЭВМ, следующие (с $^{-1}$): 51,969; 359,98; 644,45; 3851,28, а по формулам (3.26): 51,977; 356,42; 644,41; 3851,61.

Таким образом, формулы представляют весьма хорошее приближение точных значений частот гироскопа. Значение первой нутационной частоты без учета упругих свойств опор ротора $\omega = \Omega / \sqrt{I_1 b^2} = 193,5 \text{ с}^{-1}$.

Сравнивая это значение с частотой, полученной в предположении упругого подшипника по формуле (3.26) $\omega_8=52,0 \text{ с}^{-1}$, видим, что учет упругих свойств является причиной уменьшения первой нутационной частоты почти в четыре раза. Представляют интерес также формулы частот упругих колебаний системы и их зависимость от кинетического момента. Прочие частоты уменьшились незначительно, на практике нет смысла учитывать такие малые поправки.

ЛИТЕРАТУРА

1. *Василенко В. П., Темченко М. Е.* К теории гироскопа на торсионном подвесе. — Изв. ж. МТТ, 1966, № 1, с. 6–13.
2. *Журавлев В. Ф.* Задача о равновесии неидеального шарикового подшипника. — Изв. АН СССР. МТТ, 1970, № 4, с. 72–77.
3. *Журавлев В. Ф.* О движении свободного гироскопа при наличии внутренних возмущений. — Изв. АН СССР. МТТ, 1973, № 5, с. 14–21.
4. *Журавлев В. Ф.* Динамика ротора в неидеальных подшипниках. — Изв. АН СССР. МТТ, 1971, № 5, с. 44–48.
5. *Новиков Л. З.* О влиянии несферичности Земли на работу гироскопа. — ПММ, 1963, т. 27, вып. 5, с. 878–884.

Москва

Поступила в редакцию
3.V.1983